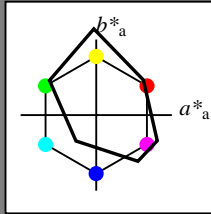


Eingabe: Farbmatisches Drucker-Reflektiv-System FRS06

mit *rgb*-Daten der vier Elementaruntöne

- 1 0 0 = Rot R
- 1 1 0 = Gelb J
- 0 1 0 = Grün G
- 0 0 1 = Blau B



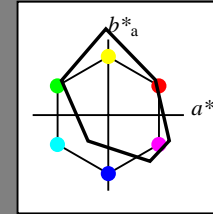
FRS06; adaptierte CIELAB-Daten

	$L^*=L^*_a$	a^*_a	b^*_a	$C^*_{ab,a}$	$h^*_{ab,a}$
O _{Ma}	32.57	62.32	46.49	77.75	37
Y _{Ma}	82.73	-3.16	113.99	114.03	92
L _{Ma}	39.43	-61.79	45.84	76.95	143
C _{Ma}	47.86	-26.79	-34.24	43.49	232
V _{Ma}	10.16	55.12	-61.03	82.24	312
M _{Ma}	34.5	80.68	-33.92	87.52	337
N _{Ma}	6.25	0.0	0.0	0.0	0
W _{Ma}	91.97	0.0	0.0	0.0	0
R _{CIE}	39.92	59.8	31.05	67.38	27
J _{CIE}	81.26	-2.52	76.25	76.29	92
G _{CIE}	52.23	-41.56	17.14	44.96	158
B _{CIE}	30.57	2.63	-43.77	43.86	273

Ausgabe: Farbmatisches Drucker-Reflektiv-System FRS06

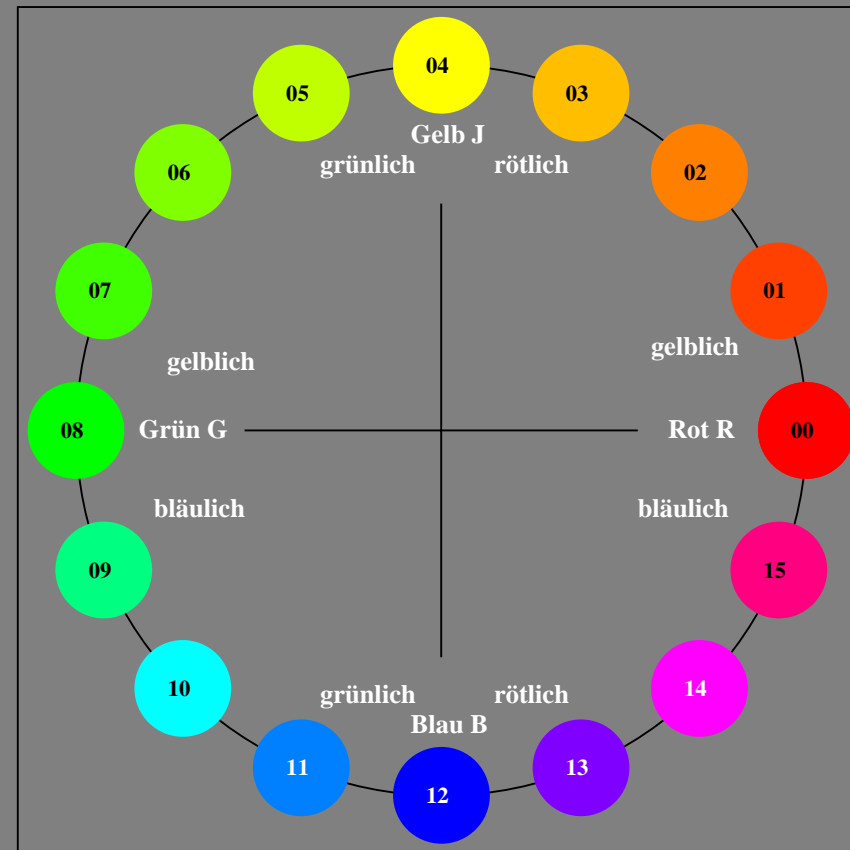
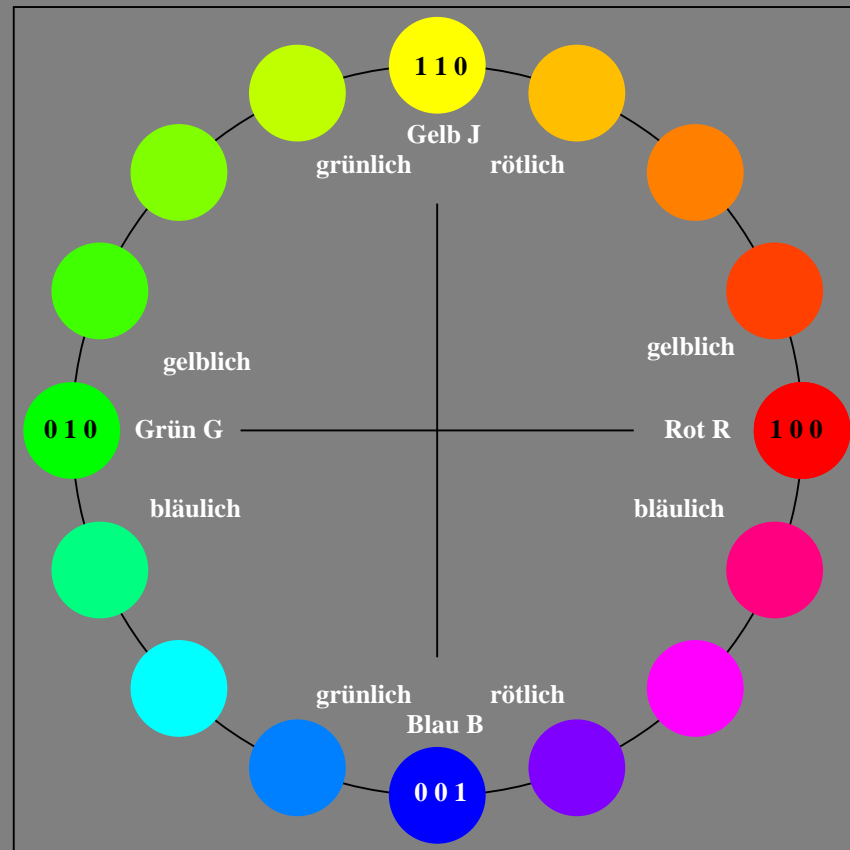
mit Bunttonnummer

- $n = 00$ bis 19
- 00 = Rot R
- 05 = Gelb J
- 10 = Grün G
- 15 = Blau B



FRS06; adaptierte CIELAB-Daten

	$L^*=L^*_a$	a^*_a	b^*_a	$C^*_{ab,a}$	$h^*_{ab,a}$
O _{Ma}	32.57	62.32	46.49	77.75	37
Y _{Ma}	82.73	-3.16	113.99	114.03	92
L _{Ma}	39.43	-61.79	45.84	76.95	143
C _{Ma}	47.86	-26.79	-34.24	43.49	232
V _{Ma}	10.16	55.12	-61.03	82.24	312
M _{Ma}	34.5	80.68	-33.92	87.52	337
N _{Ma}	6.25	0.0	0.0	0.0	0
W _{Ma}	91.97	0.0	0.0	0.0	0
R _{CIE}	39.92	59.8	31.05	67.38	27
J _{CIE}	81.26	-2.52	76.25	76.29	92
G _{CIE}	52.23	-41.56	17.14	44.96	158
B _{CIE}	30.57	2.63	-43.77	43.86	273



XE640-7, 16 stufiger Bunttonkreis mit Elementarfarben R, J, G, B (links)

16 stufiger Bunttonkreis mit Elementarfarben R, J, G, B (rechts)